

# 细胞生长抑制剂 Dolastatin 15 类似物的合成及其活性研究

郝建坤, 梁远军, 吴萍, 何军林, 赵修南, 周文霞, 张永祥, 刘克良  
(军事医学科学院毒物药物研究所, 北京 100850)

**摘要** 通过在细胞生长抑制剂 Dolastatin 15(D15) 的 N 端引入含环胺基的非天然氨基酸 **1~3**, 赋予其构象限制和疏水性, 设计合成了 21 个结构类似物, 并进行了体外抑制肿瘤细胞生长的活性评价。结果表明, 部分化合物显示出较好的抑制肿瘤细胞生长活性, 同时探讨了初步的构效关系。

**关键词** 细胞生长抑制剂; Dolastatin 15 类似物; 线性肽; 海洋生物活性肽

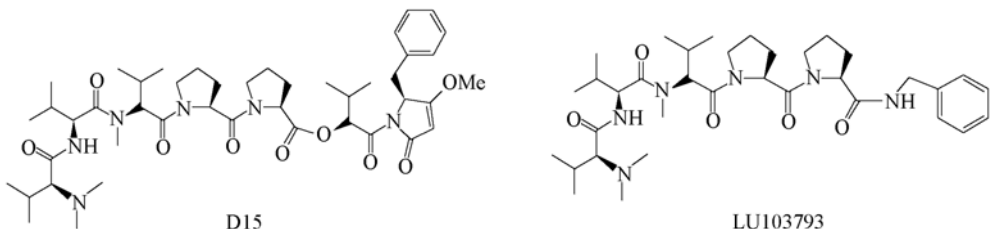
中图分类号 O629

文献标识码 A

文章编号 0251-0790(2009)02-0308-06

近几十年来, 涌现出大量源自海洋生物的活性肽类化合物, 它们含有独特的氨基酸或氨基酸衍生物。Dolastatin 15(D15)是 Pettit 等<sup>[1,2]</sup>于 1989 年从西印度洋软体动物海兔(*Dolabella auricularia*)中分离得到的线性天然多肽, 经美国国家癌症研究所(NCI)筛选, 发现其具有很强的抑制细胞生长活性, 对淋巴白血病细胞 P388 的  $ED_{50}$  值为 2.4 ng/mL。Aruda 等<sup>[3]</sup>对其结构进行修饰和简化, 发现了化合物 LU103793(Cemadotin), 它具有水溶性好、稳定性高、细胞毒性强( $IC_{50} = 0.1 \text{ nmol/L}$ )和化学合成相对简单等优点, 现已进入Ⅱ期临床研究阶段<sup>[4~7]</sup>。作用机制的研究表明, LU103793 作用于细胞内微管并抑制细胞的有丝分裂, 使细胞周期终止在 G<sub>2</sub>/M 期<sup>[8]</sup>。从 D15 的分子结构(见 Scheme 1)可以看出, 它具有高度的亲脂性。N-端两个缬氨酸的  $\alpha$ -氨基分别被单、双甲基化; 同时还有两个限制主链结构自由度的脯氨酸和一个非氨基酸的 C-末端。

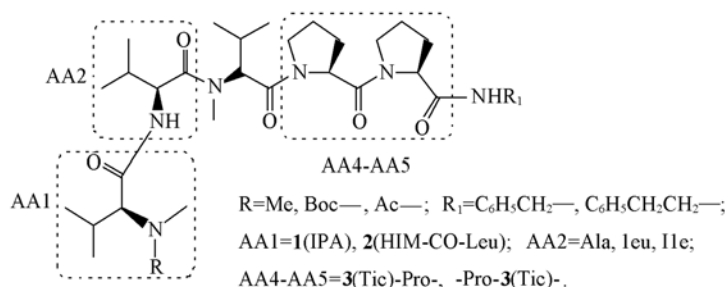
Pettit 等<sup>[9]</sup>提出, D15 的 C-端结构对抑制肿瘤细胞生长只产生有限的作用, 很可能不是重要的活性位点。LU103793 的 C-端苄胺结构较 D15 的 C-端(2-Hydroxyisovaleryl-dolapyrrolidone)简化, 不仅提高了活性, 而且降低了毒性。基于 LU103793 的结构(见 Scheme 1), Hu 等<sup>[10]</sup>通过对 N-端疏水性的研究发现, 以 *N,N*-双苄基取代 *N,N*-双甲基后, D15 活性下降; 在 C-端苄胺苯环的 4 位引入 F, Cl, 或在 3, 4 位引入二甲氨基或二氯亚甲基后, 并不提高 D15 活性。Bai 等<sup>[11]</sup>研究发现, 在微管蛋白的  $\beta$ -亚单位上存在 D15 的“肽结合位点”, 可结合片段为 N-端的 *N,N*-二甲基缬氨酸-缬氨酸-N-甲基缬氨酸。Schmidt 等<sup>[12]</sup>合成了 D15 的模拟类肽, 以 *N,N*-二异丙胺基模拟 *N,N*-二甲基缬氨酸, S-脯氨酸用其相应的对映异构体模拟, 所得类肽没有明显的抑制细胞生长活性。



Scheme 1 Structures of D15 and LU103793

根据上述研究结果可以判定, N-端作为“肽结合片段”, 其结构限制性和亲脂/亲水性对活性有显著影响。因此, 对 D15 的 N-端进行了结构改造或修饰, 主要包括: (1) 引入  $\alpha$ -氨基具有构象限定性因

素的氨基酸, 如  $\alpha$ -异丙基-1-R-哌啶乙酸(IPA, 1), N-甲基脯氨酸等; (2) 引入空间位阻较大的基团, 如叔丁氧羰基(Boc—)或六亚甲基胺甲酰基(HIM—CO—); (3) 应用其它亲脂性天然氨基酸(丙氨酸、亮氨酸或异亮氨酸)替换2位的缬氨酸。此外, D15中包含-Pro-Pro-结构片段, 其结构限制性也很强, 分别以四氢异喹啉-3-羧酸(Tic, 3)进行替换。C-端采用苄胺或苯乙胺结构。通过将上述的构建单元引入D15中, 得到其相应的结构类似物(见Scheme 2), 并评价其体外抑制肿瘤细胞生长的活性。



Scheme 2 Design diagram of D15 analogs

## 1 实验部分

### 1.1 仪器和试剂

RY-1型熔点仪(天津分析仪器厂); Bruker ARX 400型或US Varian Unity Inova 600型核磁共振仪, 以TMS为内标; Zabspect高分辨质谱仪; 薄层色谱硅胶GF254和柱色谱硅胶H(200~300目)为青岛海洋化工厂产品。所用试剂、溶剂均为商品化产品。所用肿瘤细胞株为人红白血病细胞株K562、人胃癌细胞株Kato-Ⅲ和人卵巢癌细胞株OVCA2780。Napco-5410型CO<sub>2</sub>孵育箱(美国BIO-RAD); 清洁工作台(北京); OLYMPUS光学显微镜和OLYMPUS倒置显微镜(日本奥林巴斯有限公司); Costar96孔细胞培养板(美国); 手提式蒸汽高压消毒锅(上海); 多孔扫描分光光度计Multiskan MCC/340 MK II(芬兰)。

### 1.2 非天然氨基酸构建单元的合成

1.2.1  $\alpha$ -异丙基-1-R-哌啶乙酸盐酸盐(HCl·IPA, 1)的制备 参照文献[13]的方法合成。白色固体1.4 g(产率31.6%)。m.p. 222~225 °C。MS: [M+H]<sup>+</sup>=186。<sup>1</sup>H NMR(400 MHz, CDCl<sub>3</sub>), δ: 4.0(m, 1H), 2.8(m, 1H), 2.3(m, 4H), 1.5(m, 2H), 1.0(dd, 6H)。

1.2.2 N,N-六亚甲基胺甲酰-L-亮氨酸(HIM-CO-L-Leu, 2)的制备 参照文献[14]方法合成。白色晶体7.4 g(产率72.0%)。m.p. 92~94.5 °C。MS: [M+H]<sup>+</sup>=242。<sup>1</sup>H NMR(400 MHz, CDCl<sub>3</sub>), δ: 0.93(m, 3H), 3.38(m, 4H), 4.38(d, 1H), 5.10(s, 1H), 10.90(s, 1H)。

1.2.3 N-叔丁氧羰基-N-甲基-L-缬氨酸(Boc-N-Me-L-Val)的制备 参照文献[15]方法制备。黄色油状物4.2 g(产率90.0%)。MS: [M+H]<sup>+</sup>=232。<sup>1</sup>H NMR(400 MHz, CDCl<sub>3</sub>), δ: 10.6(bs, 1H), 4.1, 4.2(dd, 1H), 2.8(2s, 3H), 2.2(bs, 1H), 1.4(s, 9H), 0.8~1.0(dd, 6H)。

1.2.4 N-乙酰基-N-甲基-L-缬氨酸(N-Ac-N-Me-L-Val)的制备 将11.7 g(0.1 mol) L-缬氨酸的2 mol/L氢氧化钠溶液110 mL(0.22 mol)用冰水浴冷却, 滴加11.4 mL(0.12 mol)醋酐, 反应40 min。以浓盐酸调pH≈2, 滤集固体, 3.2 g(20 mmol)。以55 mL无水四氢呋喃/二甲基甲酰胺(体积比10:1)混合溶液溶解, 加入碘甲烷10 mL(160 mmol)和氯化钠2.88 g(50%, 60 mmol), 80 °C反应24 h, 得无色针状结晶2.77 g(产率80.0%), m.p. 112~114 °C。MS: [M+H]<sup>+</sup>=160。<sup>1</sup>H NMR(400 MHz, CDCl<sub>3</sub>), δ: 9.7(bs, 1H), 4.5(m, 1H), 3.0(s, 3H), 2.8(m, 1H), 2.2(s, 3H), 1.0(dd, 6H)。

1.2.5 N-甲基-L-脯氨酸(N-Me-L-Pro)的制备 参照文献[16]方法制备。无色针状结晶1.11 g(产率99.1%), m.p. 109~112 °C。MS: [M+H]<sup>+</sup>=130。<sup>1</sup>H NMR(400 MHz, CDCl<sub>3</sub>), δ: 10.7(bs, 1H), 2.4~2.2(m, 2H), 2.3(s, 3H), 1.7~1.9(m, 2H), 1.4~1.6(m, 2H)。

1.2.6 N,N-二甲基-L-缬氨酸(N,N-L-Me<sub>2</sub>Val)的制备 参照文献[16]方法制备。白色针状结晶, m.p. 152~154 °C。MS: [M+H]<sup>+</sup>=146。<sup>1</sup>H NMR(400 MHz, CDCl<sub>3</sub>), δ: 3.8(m, 1H), 2.5(m, 1H), 2.3(s, 6H), 0.9(dd, 6H)。

1.2.7 N-叔丁氧羰基-四氢异喹啉-3-R-羧酸(R-Boc-Tic)的制备 参照文献[17]方法, 在L-苯丙氨酸

5.0 g(33 mmol)的37%~40%(体积分数)甲醛水溶液(11.5 mL)中,加入浓盐酸38 mL,于90 °C反应3 h. 补加浓盐酸10 mL和37%~40%甲醛水溶液5 mL,于95 °C反应3 h. 室温放置过夜,析出淡黄色固体. 滤集固体,在冰浴下用氨水/水(体积比2:3)溶解,浓盐酸调pH≈9.0,无色固体析出,滤集固体5.72 g(产率98.0%). 取该固体3.90 g(22 mmol)溶于90 mL二氧六环/45 mL水中,冰浴冷却,加入1 mol/L氢氧化钠45 mL和叔丁氧酸酐5.28 g(24.2 mmol),室温反应2.5 h. 将反应液浓缩,用稀硫酸氢钾溶液调pH≈3,以乙酸乙酯萃取(3次),饱和氯化钠溶液洗涤. 干燥,浓缩,得无色固体5.3 g(产率87.0%),m.p. 76~80 °C. MS: [M + H]<sup>+</sup> = 278. <sup>1</sup>H NMR(400 MHz, DMSO), δ: 7.48(m, 1H), 7.40(m, 1H), 7.21(m, 1H), 7.17(m, 1H), 3.60~3.90(m, 3H), 2.8~3.0(m, 2H).

### 1.3 D15类似物的合成

$\text{Me}_2\text{Val-Val-MeVal-Tic-Pro-NHCH}_2\text{C}_6\text{H}_5$ (**19**)的制备: 将L-脯氨酸甲酯盐酸盐3.32 g(20 mmol)用20 mL二氯甲烷溶解,在冰浴下加入三乙胺2.78 mL(20 mmol)、Boc-R-四氢异喹啉-3-羧酸5.54 g(20 mmol)、1-羟基苯并三氮唑(HOBt)2.84 g(21 mmol)和二异丙基碳二亚胺(DIC)3.3 mL(21 mmol),室温反应12 h. 将反应液浓缩,加入乙酸乙酯萃取,有机相分别用10%柠檬酸溶液、饱和碳酸氢钠溶液和饱和氯化钠溶液洗涤,干燥,浓缩,得黄色油状物7.3 g. 经硅胶柱层析[V(乙酸乙酯):V(石油醚)=1:1,  $R_f$ =0.62],得到无色结晶(Boc-Tic-ProOMe),5.34 g(68.8%, 13.8 mmol). 取该结晶3.25 g(10 mmol),加入4 mol/L盐酸/二氧六环20 mL,室温反应1 h,反应液浓缩得黄色油状液体. 用相同方法制得Boc-Val-MeVal-Tic-ProOMe,得到黄色油状物1.5 g(86.2%, 2.75 mmol). 将该油状物用甲醇溶解,在冰浴下滴加2 mol/L氢氧化钠溶液2.8 mL(5.6 mmol),室温反应3 h. 反应液浓缩,用柠檬酸调pH≈4后,用乙酸乙酯萃取(25 mL×3),饱和氯化钠溶液洗涤,干燥,浓缩,得黄色油状物1.08 g(2.05 mmol). 取该油状物0.216 g(0.41 mmol),用10 mL二氯甲烷溶解,冰浴,加入HOBt60 mg(0.451 mmol)、DIC 71 μL(0.451 mmol)和苯乙胺51.7 μL(0.41 mmol),室温搅拌11 h. 反应液浓缩后,用乙酸乙酯萃取,有机相经洗涤,干燥,浓缩,得黄色油状物(Boc-Val-MeVal-Tic-Pro-NH<sub>2</sub>CH<sub>2</sub>Ph)0.24 g(0.35 mmol, 产率85.4%). 在上述油状物中,加入4 mol/L盐酸/二氧六环溶液5 mL,室温搅拌1 h. 反应液浓缩后,得黄色油状液体. 取该油状物0.11 g(0.175 mmol),用5 mL二氯甲烷溶解,冰浴下加入三乙胺60.9 μL(0.44 mmol)、N,N-二甲基缬氨酸25.4 mg(0.175 mmol)和膦酸腈二乙酯(DEPC)40.0 μL(0.26 mmol),室温反应24 h. 反应液浓缩后,用二氯甲烷萃取,经洗涤,干燥,浓缩,得淡黄色油状液体( $\text{Me}_2\text{Val-Val-MeVal-Tic-Pro-NHCH}_2\text{C}_6\text{H}_5$ ). MS: [M + H]<sup>+</sup> = 703.

其余各肽类似物均参照此法合成. 以HPLC分析纯度( $C_{18}$ , 4.6 mm×250 mm, 210 nm, 流动相A: 0.1%TFA/水, B: 0.1%TFA/70%乙腈, 1.0 mL/min, 梯度洗脱, 0 min, 15% B; 15 min, 85% B).

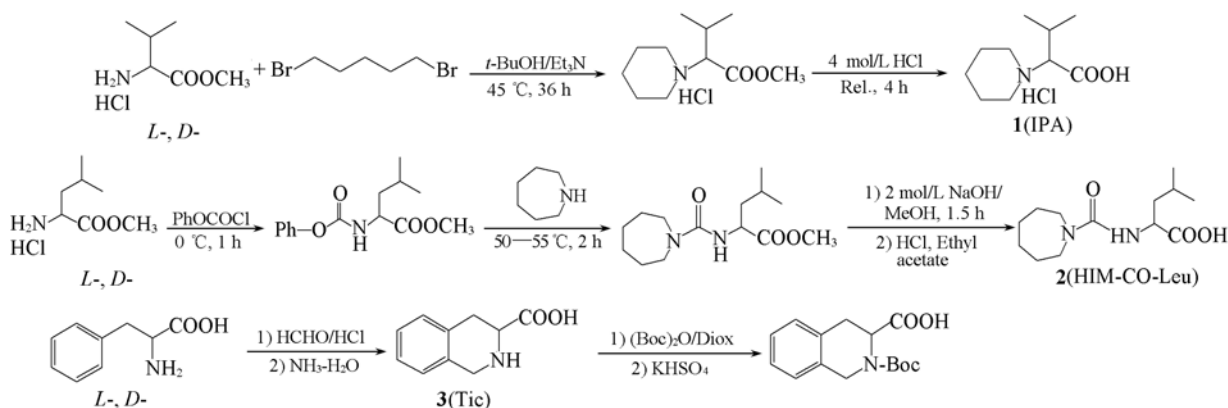
### 1.4 体外抗肿瘤活性评价

采用MTT法,评价化合物抑制肿瘤细胞K562, Kato-III和OVCA2780的生长情况. 取传代培养48 h的癌细胞株,用0.4%台盼兰与细胞悬液以体积比1:1(50 μL+50 μL)混匀,立即用白细胞计数法计数活细胞数,用10%小牛血清1640液将细胞浓度调整到 $3.125 \times 10^5$ 个/mL,备用. 在无菌条件下向96孔板的每孔中加入癌细胞悬液80 μL和药液20 μL,每个药物浓度设4个复孔,然后放入CO<sub>2</sub>孵育箱中培养48 h. 加0.5%MTT液20 μL/孔,继续培养4 h. 然后加入10%SDS 100 μL/孔,置孵育箱培养过夜. 用多孔扫描分光光度计测定570 nm的OD值,计算抑制率(%).

## 2 结果与讨论

### 2.1 非天然氨基酸的合成

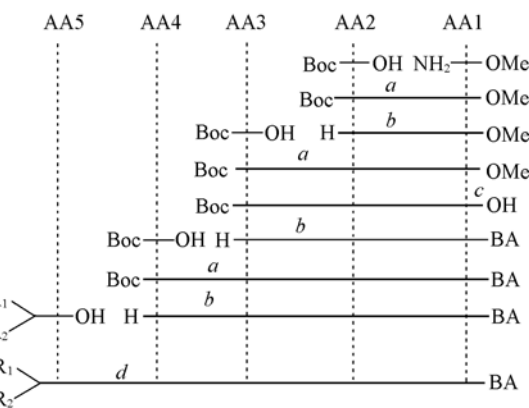
3个非天然氨基酸都含有环状氨基结构,但以不同的方法获得(Scheme 3). 通过1,5-二溴戊烷与缬氨酸甲酯的氨基的二次取代反应,将环戊基引入到α-氨基,继而水解其羧基,得到化合物**1**. 在化合物**2**中,环己胺基通过甲酰基与其α-氨基连接,先在亮氨酸甲酯的α-氨基引入苯氧羰酰基,进一步与环己胺反应,在α-氨基上引入了环己胺基甲酰基. 将L-苯丙氨酸的α-氨基通过缩合反应,以亚甲基与其苯环连接成环,就得到化合物**3**.



Scheme 3 Synthesis routes of amino acid derivatives 1, 2 and 3

## 2.2 D15 类似物的合成

肽的合成应用液相合成法 (Scheme 4). 基于 D15 的 N-端“肽结合片段”以及-Pro-Pro-片段的结构限制性特点, 合成了 21 个 D15 结构类似物. 由于有单烷基和双烷基取代的氨基酸, 以及非天然氨基酸的插入, 在使用常规缩合剂(如 HOBr/DCC)时, 缩合产率极低, 甚至不发生缩合, 这与其较大的空间位阻有关. 根据 Hu 等<sup>[10]</sup>的方法, 利用缩合剂磷酸二乙酯(DEPC), 得到了令人满意的结果. 所有肽片段以 ESI-MS 测定分子量(见表 1), HPLC 纯度为 70%~90%.



Scheme 4 Synthetic procedure of D15 analogs

a. HOBr/DCC, Et<sub>3</sub>N; b. 4 mol/L HCl/Diox; c. 2 mol/L NaOH/MeOH;  
d. DEPC, Et<sub>3</sub>N. R<sub>1</sub>, R<sub>2</sub> = C<sub>1</sub>—C<sub>5</sub> alkyl chain.

Table 1 Amino acid sequences and MS data of compounds 1—20 and 25

Compd.	Sequence	<i>M</i> <sub>w</sub> , Calcd.	<i>M</i> <sub>w</sub> , Measd.	HPLC purity (%)
LU103793	Me <sub>2</sub> Val-Val-MeVal-Pro-Pro-NHCH <sub>2</sub> Ph	640.9	641.6	90
1	IPA-Val-MeVal-Pro-Pro-NHCH <sub>2</sub> Ph	680.5	680.5	87
2	IPA-Ala-MeVal-Pro-Pro-NHCH <sub>2</sub> Ph	652.4	652.7	89
3	IPA-Leu-MeVal-Pro-Pro-NHCH <sub>2</sub> Ph	694.5	694.5	89
4	IPA-Ile-MeVal-Pro-Pro-NHCH <sub>2</sub> Ph	694.5	694.6	85
5	HIM-CO-Leu-Val-MeVal-Pro-Pro-NHCH <sub>2</sub> CH <sub>2</sub> Ph	765.5	766.5	85
6	HIM-CO-Leu-Ala-MeVal-Pro-Pro-NHCH <sub>2</sub> CH <sub>2</sub> Ph	737.5	738.5	86
7	HIM-CO-Leu-Leu-MeVal-Pro-Pro-NHCH <sub>2</sub> CH <sub>2</sub> Ph	779.5	780.4	83
8	HIM-CO-Leu-Ile-MeVal-Pro-Pro-NHCH <sub>2</sub> CH <sub>2</sub> Ph	779.5	780.7	87
9	HIM-CO-Leu-Val-MeVal-Pro-Pro-NHCH <sub>2</sub> Ph	751.5	752.5	86
10	HIM-CO-Leu-Ala-MeVal-Pro-Pro-NHCH <sub>2</sub> Ph	723.5	724.5	83
11	HIM-CO-Leu-Leu-MeVal-Pro-Pro-NHCH <sub>2</sub> Ph	765.5	766.7	85
12	HIM-CO-Leu-Ile-MeVal-Pro-Pro-NHCH <sub>2</sub> Ph	765.4	766.7	81
13	Ac-N-MeVal-Val-MeVal-Pro-Pro-NHCH <sub>2</sub> Ph	668.4	669.5	84
14	Boc-MeVal-Val-MeVal-Pro-Pro-NHCH <sub>2</sub> Ph	726.5	727.8	80
15	HCl · MeVal-Val-MeVal-Pro-Pro-NHCH <sub>2</sub> Ph	626.4	627.6	79
16	Me <sub>2</sub> Val-Ala-MeVal-Pro-Pro-NHCH <sub>2</sub> Ph	612.4	613.5	85
17	Me <sub>2</sub> Val-Leu-MeVal-Pro-Pro-NHCH <sub>2</sub> Ph	654.5	655.4	88
18	Me <sub>2</sub> Val-Ile-MeVal-Pro-Pro-NHCH <sub>2</sub> Ph	654.5	655.6	87
19	Me <sub>2</sub> Val-Val-MeVal-Tic-Pro-NHCH <sub>2</sub> Ph	702.5	703.5	73
20	Me <sub>2</sub> Val-Val-MeVal-Pro-Tic-NHCH <sub>2</sub> Ph	702.5	703.5	70
25	MePro-Ala-MeVal-Pro-Pro-NHCH <sub>2</sub> Ph	596.4	597.4	89

### 2.3 D15 类似物抑制肿瘤细胞生长的活性评价与初步构效关系探讨

采用人源肿瘤细胞株红白血病细胞株 K562、卵巢癌细胞株 OVCA2780 和胃印戒癌细胞株 Kato-III，筛选了 D15 类似物体外抑制肿瘤细胞生长的活性。其中 12 个化合物(1, 3, 9~12, 13~15, 17, 18, 25)对 3 种肿瘤细胞的生长有抑制作用(表 2)。

对于细胞株 K562, 7 个化合物(1, 13~15, 17, 18 和 25)的抑制率在 40% 以上, 大大高于对照药 LU103793(11.1%)。化合物 3, 11 和 16 的抑制率为对照药的 2 倍左右; 化合物 7, 12 和 20 也具有相当的抑制活性。对于细胞株 OVCA2780, 12 个化合物(1, 3, 9~12, 14~15, 17)显示较好的抑制活性, 其中化合物 3 的抑制率(53.8%)是 LU103793(24.1%)的 2 倍以上, 其余化合物与其相当。对于细胞株 Kato-III, 4 个化合物(15, 17, 18, 25)的抑制率较高, 其中 3 个化合物的抑制率达到 35% 以上, 好于对照药(28.5%)。

**Table 2** *In vitro* cytotoxic activities of compounds 1—20 and 25

Compd.	Inhibitory rate (%)			Compd.	Inhibitory rate (%)		
	K562	OVCA2780	Kato-III		K562	OVCA2780	Kato-III
LU103793	11.1	24.1	28.5	11	20.0	22.9	8.8
1	42.6	24.9	17.5	12	15.4	22.6	3.5
2	7.4	14.9	5.0	13	43.4	13.6	16.2
3	24.9	53.8	14.3	14	45.8	31.3	18.7
4	3.4	8.9	3.2	15	50.7	33.1	35.4
5	5.4	12.8	13.7	16	24.2	15.7	13.3
6	2.4	17.0	12.0	17	48.1	34.9	27.6
7	12.5	9.8	17.6	18	53.9	15.6	36.5
8	9.5	8.0	16.2	19	5.0	8.3	-2.6
9	4.0	22.6	13.1	20	10.8	13.8	-5.1
10	4.3	29.7	11.9	25	42.6	12.0	39.6

相对于对照品 LU103793, 化合物 16~18 中的第二个氨基酸 Val 分别被 Ala, Leu 或 Ile 取代后, 对 K562 的抑制活性都大大提高; 对 Kato-III, 化合物 17 和 18 都显示出抑制活性; 而只有化合物 17 可使 OVCA2780 的活性有所提高。上述结果表明, 第二个氨基酸的脂溶性越强, 活性越高, 其亲脂性修饰有利于提高活性。然而, 当将第一个氨基酸 Me<sub>2</sub>Val 用 IPA 取代后, 活性评价的结果却并未出现“第二个氨基酸的脂溶性越强, 活性越高”的结果。在经 IPA 修饰的化合物中, 化合物 1 的活性要高于化合物 2~4, 其抑制 K562 的活性甚至比对照化合物更强, 化合物 3 抗 OVCA2780 活性有所提高, 化合物 2, 4 的活性却明显下降。

这一结果说明, 虽然 N-端环己基的脂溶性和立体结构与二甲基相当, 但当第二个氨基酸发生改变时, 这两种结构修饰对活性的影响没有加和性, 因而推测环己基产生的立体要求在某种情况下是不利于活性的。在化合物 2 的基础上, 以 MePro 代替 IPA, 此种改变对细胞 K562 和 Kato-III 较为敏感, 对其抑制活性大大提高, 同时高于对照药物的活性。

如果 N-端以体积较大的 HIM-CO-Leu 取代时(化合物 9~12), 对细胞 K562 和 Kato-III 的抑制活性大大降低, 其中化合物 11 和 12 对 K562 细胞表现出较好的抑制活性。化合物 9~12 对细胞 OVCA2780 的抑制活性与对照化合物相当。如果进一步将 C-端以苯乙基取代苄基, 有利于对细胞 Kato-III 的抑制活性, 而对细胞 K562 和 OVCA2780 的抑制受到影响。这一结果表明 C-端的取代是一个不利因素。

将 N-端 Me<sub>2</sub>Val 的一个甲基以盐酸盐或乙酰基和叔丁氧羰基取代, 分别得到化合物 15、13 和 14。细胞 K562 对这一改变十分敏感, 对它的抑制活性提高了 4 倍。盐酸盐化合物 15 对 3 种细胞株的抑制活性都有提高。将序列中的两个 Pro 分别以 Tic 代替, 得到的化合物 19 和 20 对 3 种细胞株的抑制活性都下降。说明 Tic 的亲脂性侧链和结构限制性不利于活性。

综上所述, 化合物 D15 具有很大的结构可变性, 不同位置的变换会改变其对不同细胞的敏感性。C-末端苄基相对比较保守, 其改变不利于活性; N-端第二、三位氨基酸的亲脂性是保持活性的重要因素。由于结构单元的类型及活性数据的限制, -Pro-Pro-片段的影响还有待进一步探讨。

## 参 考 文 献

- [1] Pettit G. R., Kamano Y., Dufresne C., et al. J. Org. Chem. [J], 1989, **54**(26): 6005—6006
- [2] Pettit G. R., Kamano Y., Herald C. L., et al. Tetrahedron [J], 1993, **49**(41): 9151—9170
- [3] De Arruda M., Cocchiaro C. A., Nelson C. M., et al. Cancer Res. [J], 1995, **55**(14): 3085—3092
- [4] Villalona-Calero M. A., Baker S. D., Hammond L., et al. J. Clin. Oncol. [J], 1998, **16**(8): 2770—2779
- [5] Supko J. G., Lynch T. J., Clark J. W., et al. Cancer Chemother. Pharmacol. [J], 2000, **46**(4): 319—328
- [6] Smyth J., Boneterre M. E., Schellens J., et al. Ann. Oncol. [J], 2001, **12**: 509—511
- [7] Kerbrat P., Dieras V., Pavlidis N., et al. Eur. J. Cancer [J], 2003, **39**: 317—320
- [8] Jordan M. A., Walker D., De Arruda M., et al. Biochem. [J], 1998, **37**: 17571—17578
- [9] Pettit G. R., Flahive E. J., Boyd M. R., et al. Anticancer Drug Design [J], 1998, **13**: 47—66
- [10] Hu M. K., Huang W. S. J. Pept. Res. [J], 1999, **54**(6): 460—467
- [11] Bai R., Friedman S. J., Pettit G. R., et al. Biochem. Pharmacol. [J], 1992, **43**(12): 2637—2645
- [12] Schmidt J., Bernd M., Kutscher B., et al. Bioorg. Med. Chem. Lett. [J], 1998, **8**: 385—388
- [13] Juárez J., Gnecco D., Galindo A., et al. Tetrahedron: Asymmetry [J], 1997, **8**(2): 203—206
- [14] Nagase T., Mase T., Fukami T., et al. Bioorg. Med. Chem. Lett. [J], 1995, **5**(13): 1395—1400
- [15] Jassen B., Barlozzari T., Haupt A., et al. Dolastatin 15 Derivatives. US 6143721 [P], 2000
- [16] Bowman R. E., Stroud H. H. Chem. Soc. [J], 1950: 1342—1345
- [17] Julian P. L., Karpel W. J., Magnani A., et al. J. Am. Chem. Soc. [J], 1948, **70**(1): 180—183

## Synthesis of Cell Growth Inhibitor Dolastatin 15 Analogues and Their Activities

QIE Jian-Kun, LIANG Yuan-Jun, WU Ping, HE Jun-Lin, ZHAO Xiu-Nan,

ZHOU Wen-Xia, ZHANG Yong-Xiang, LIU Ke-Liang\*

*(Institute of Pharmacology and Toxicology, Academy of Military Medical Sciences, Beijing 100850, China)*

**Abstract** Dolastatin 15 (D15) was a linear depsipeptide with two N-methylated valines and a complex C-terminal, showing potent cell growth inhibitory activity. D15 was highly alkylation and with spacial constraints. Modifications at D15's N-terminal were performed by introducing three unnatural amino acid analogs **1—3** with more conformation-restriction and hydrophobicity. Twenty-one compounds were synthesized, and their activities were evaluated *in vitro* on human tumor cell lines K562, OVCA2780 and Kato-III. Some compounds exhibited modest potency compared to compound LU103793, an analog of D15, evaluated in clinical phase II now. A primary structure-activity relationship was summarized about the N-terminal.

**Keywords** Cell growth inhibitor; Dolastatin 15 analogs; Linear peptide; Marine bioactive peptide

(Ed. : H, J, Z)